

[文章编号] 1000-4718(2007)11-2100-03

Ang II 致内皮细胞凋亡中多聚(ADP-核糖) 聚合酶活性变化的研究*

杨丽霞，郭瑞威，王红，郭传明，齐峰，石燕昆

(成都军区昆明总医院心血管内科，云南 昆明 650032)

[摘要] 目的：探讨体外 Ang II 在引起血管内皮细胞凋亡过程中细胞内多聚(ADP-核糖)聚合酶的活性变化情况。方法：1 μmol/L 的 Ang II 处理原代培养人脐静脉内皮细胞 6、12、24 和 48 h 后，用 TUNEL 法来检测内皮细胞的凋亡，用 [³H]掺入法来检测 PARP 的活性，硝酸还原法检测 NO 含量。结果：1 μmol/L 的血管紧张素 II 以时间依赖性引起内皮细胞的凋亡，6 h 后细胞内的 NO 含量开始增加 ($P < 0.05$)，24 h 达到高峰，48 h 后下降到对照组水平；6 h 后 PARP 的活性上升 ($P < 0.05$)，12 h 到达高峰，24 h 接近正常，48 h 后 PARP 的活性显著低于对照组 ($P < 0.05$)。结论：NO 含量增加导致的细胞毒性在血管紧张素 II 引起内皮细胞的凋亡中有着重要的作用，在这一过程中 PARP 活性的变化是先上升后下降。

[关键词] 多聚(ADP-核糖)聚合酶；血管紧张素 II；内皮细胞；细胞凋亡；一氧化氮

[中图分类号] R363

[文献标识码] A

Role of PARP in endothelial cell apoptosis induced by angiotensin II

YANG Li-xia, GUO Rui-wei, WANG Hong, GUO Chuan-ming, QI Feng, SHI Yan-kun

(Department of Cardiology, Kunming General Hospital of Chengdu Army, Kunming 650032, China. E-mail: grw771210@163.com)

[ABSTRACT] **AIM:** To explore the role of poly-(ADP-ribose) polymerase (PARP) in the cultured endothelial cell apoptosis induced by angiotensin II. **METHODS:** The cultured endothelial cells were treated with angiotensin II at concentration of 1 μmol/L. The apoptosis of endothelial cells was assessed by TUNEL. Meanwhile, the activity of PARP and the content of nitric oxide (NO) were also measured. **RESULTS:** Angiotensin II induced apoptosis in endothelial cells in a time-dependent manner. The content of NO began to increase at 6 h ($P < 0.05$), and peaked at 24 h. The activity of PARP also increased at 6 h ($P < 0.05$), peaked at 12 h, and was lower than that in the control at 48 h ($P < 0.05$). **CONCLUSION:** The cytotoxicity of NO has a relevant role in apoptosis of endothelial cells induced by angiotensin II, and can increases the activity of PARP.

[KEY WORDS] Poly-(ADP-ribose) polymerase; Angiotensin II; Endothelial cells; Apoptosis; Nitric oxide

多聚(ADP-核糖)聚合酶 [poly-(ADP-ribose) polymerase, PARP] 广泛存在于真核细胞核内，具有蛋白修饰和核苷酸聚合作用。环境刺激、自由基或氧化剂和基因毒性介质所引起的 DNA 链的缺口或断裂均可引起 PARP 活化。PARP 在机体中的作用有赖于 DNA 的损伤程度，少量的 DNA 损伤引起的 PARP 活化时，通过裂解底物 NAD⁺生成 ADP-核糖，引起包括 PARP 自身在内的多种蛋白酶发生多聚(ADP-核糖)基化，参与 DNA 链的修复；但大

量 DNA 损伤时 PARP 过度活化，利用 NAD⁺形成大量的(ADP-核糖)聚合物，利用尼克酰胺重新生成 NAD⁺时将消耗 ATP，能量耗竭将使细胞严重损伤最终导致细胞死亡^[1]。我们的前期研究表明，血管紧张素 II (angiotensin II, Ang II) 在导致血管内皮细胞凋亡时，引起了诱导型一氧化氮合酶表达的上调，使得大量的 NO 产生，体内 NO 可以被氧化成为过氧化亚硝酸盐，后者可以激活 PARP，本研究旨在观察在血管紧张素 II 致血管内皮细胞凋亡过程中 PARP 活

[收稿日期] 2006-03-28 [修回日期] 2006-07-25

*[基金项目] 云南省自然科学基金资助项目(No. 2001C0070M)

Tel: 0871-4074573; E-mail: grw771210@163.com

性的变化情况和 NO 含量。

材料和方法

1 主要试剂

血管紧张素Ⅱ购于 Sigma 公司; DMEM 购于 Gibco 公司; 胎牛血清购于 Hyclone 公司; NO 检测试剂盒为南京建成产品; TUNEL 漂白试剂盒购于中杉公司; $[4 - ^3\text{H}]$ NAD 购于 Amersham 公司。

2 人脐带静脉内皮细胞的培养和分组

参照 Madan 等^[2]方法分离人脐带静脉内皮细胞,后加入含 200 mL/L 胎牛血清的 DMEM 培养液,于 50 mL/L CO_2 、37 °C 条件下培养。观察原代培养内皮细胞 80% 以上汇合时按 10^8 cells/L 传代, 取第 2 - 4 代细胞用于实验。用终浓度为 1 $\mu\text{mol/L}$ Ang II 分别干预培养的内皮细胞, 在干预后 6、12、24 和 48 h 分别测定细胞 NO 含量、PARP 的活性和凋亡指数变化。

3 细胞内 NO 的检测

消化下来的细胞用 PBS 清洗后, 用生理盐水配成浓度为 10^9 cells/L , 反复冻融 3 次后, 测定蛋白的浓度, 按试剂盒说明操作, 测定出吸光度, $\text{NO}_2^-/\text{NO}_3^-$ 含量 = (测定管吸光度 - 空白管吸光度)/(标准管吸光度 - 空白管吸光度) × 标准品浓度/样本的蛋白含量。

4 细胞内 PARP 活性的测定

其原理是: PARP 以尼克酰胺腺嘌呤二核苷酸 (NAD) 为底物, 催化其裂解为腺苷二磷酸核糖基和尼克酰胺, 并将前者转移到受体蛋白的谷氨酸残基上, 形成 1 条腺苷二磷酸核糖基的聚合链。用同位素 $[^3\text{H}]$ 预先标记 NAD, 同位素会掺入到腺苷二磷酸核糖基聚合链上, 该聚合体存在于细胞核不溶于酸的组分中, 通过测定此组分中的比放射性强度, 便可测得 PARP 的活性。参照 Szabo 等^[3]方法进行。

5 TUNEL 检测凋亡细胞

制备细胞爬片, 4% 的多聚甲醛固定 30 min, PBS 冲洗后 0.3% H_2O_2 封闭内源性过氧化物酶 30 min, 后用 0.1% Triton X - 100 在 4 °C 渗透 2 min, PBS 冲洗后加 TUNEL 反应混合液 50 μL , 37 °C 60 min 后 PBS 冲洗, 转化剂 POD 50 μL , 37 °C 45 min, PBS 冲洗后 DAB 显色, 光镜下分析结果, 每个片子取 3 个视野 ($\times 200$), 凋亡细胞占总细胞的百分比为凋亡指数。

6 统计学处理

用 SPSS 11.0 对数据进行处理, 多组间进行单因素方差分析。数据用 $\bar{x} \pm s$ 表示。

结 果

1 鉴定人脐静脉内皮细胞

培养的人脐静脉内皮细胞, 在相差显微镜下鉴定, 大部分细胞贴壁生长。早期细胞呈小多角、球形、呈团状, 逐渐生长成梭形, 于 4 - 7 d 胞体呈多角形, 相互嵌合, 为单层呈铺路石状排列, 荧光抗体法表明胞浆内有 VIII 因子相关抗原, 见图 1。

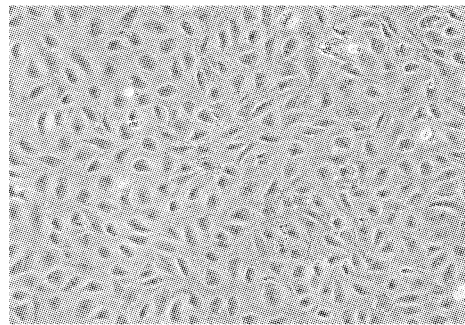


Fig 1 Human umbilical vein endothelial cell ($\times 200$).

图 1 培养的人脐静脉内皮细胞(相差显微镜)

2 Ang II 对细胞内 $\text{NO}_2^-/\text{NO}_3^-$ 含量的影响

细胞培养基中加入 Ang II (终浓度为 1 $\mu\text{mol/L}$) 6、12、24 h 后, 细胞内的 $\text{NO}_2^-/\text{NO}_3^-$ 含量逐渐增加, 与对照组有显著差异 ($P < 0.05$); 48 h 后细胞内 $\text{NO}_2^-/\text{NO}_3^-$ 含量接近对照组水平, 见图 2。

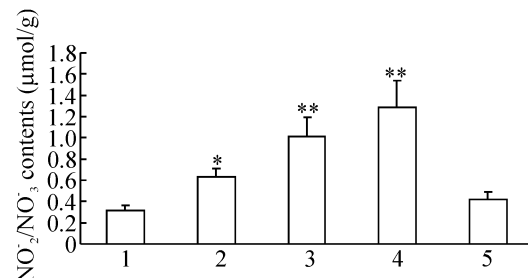


Fig 2 Influence of Ang II on $\text{NO}_2^-/\text{NO}_3^-$ contents. $\bar{x} \pm s$. $n = 3$.

* $P < 0.05$, ** $P < 0.01$ vs control group. 1: control; 2 - 5: 6, 12, 24 and 48 h after treated with AngII (1 $\mu\text{mol/L}$).

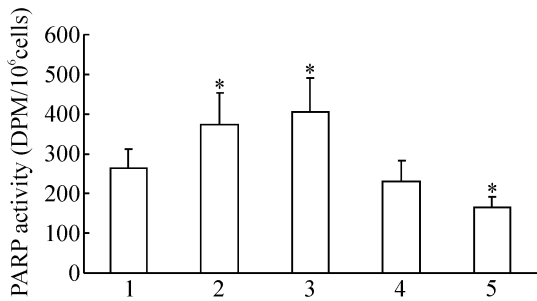
图 2 Ang II 干预内皮细胞后 $\text{NO}_2^-/\text{NO}_3^-$ 的含量

3 Ang II 对细胞内 PARP 活性的影响

在细胞培养基中加入 1 $\mu\text{mol/L}$ 的 AngII, 6 h 后 PARP 的活性上升, 与对照组有显著差异 ($P < 0.05$), 12 h 到达高峰, 24 h 接近正常, 48 h 后 PARP 的活性显著低于对照组 ($P < 0.05$), 见图 3。

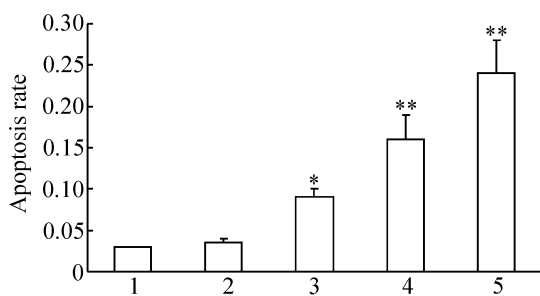
4 Ang II 对细胞凋亡的影响

浓度为 1 $\mu\text{mol/L}$ 的 Ang II 干预内皮细胞 12 h 后 TUNEL 法检测示内皮细胞的凋亡指数显著高于对照组, 24 h 和 48 h 后细胞凋亡指数增加更为明显, 见图 4。

Fig 3 Influence of Ang II on PARP activity. $\bar{x} \pm s$. n = 3.

* P < 0.05 vs control group. 1: control; 2–5: 6, 12, 24 and 48 h after treated with Ang II (1 $\mu\text{mol/L}$).

图3 Ang II 干预内皮细胞后 PARP 的活性变化

Fig 4 Influence of Ang II on EC apoptosis. $\bar{x} \pm s$. n = 3.

* P < 0.05, ** P < 0.01 vs control group. 1: control; 2–5: 6, 12, 24 and 48 h after treated with Ang II (1 $\mu\text{mol/L}$).

图4 Ang II 对内皮细胞凋亡的影响

讨 论

Ang II 作为一个重要的炎性因子,干预体内重要的生理反应,在病理条件下,因为肾素-血管紧张素系统的激活导致体内大量 Ang II 的生成^[4]。大量的 Ang II 将引起体内一系列的病理反应^[5],包括加重炎性反应、诱导凋亡的发生等^[6]。在 Ang II 引起细胞凋亡的过程中有较多的信号通路参与,其中诱导型一氧化氮合酶的激活是一个重要的过程,大量的 一氧化氮产生可以与氧自由基形成过氧化亚硝酸盐,后者会导致严重的细胞毒性反应^[7],我们研究表明在血管紧张素Ⅱ干预下,内皮细胞中的一氧化氮含量随之增加,在 24 h 达到高峰,48 h 恢复到正常水平。

PARP 是一个位于核内分子量为 113 kD 蛋白酶,包含有 3 个功能区:即 N 末端的 DNA 结合域、C 末端的催化域和位于酶蛋白中间的自身修饰域。它主要功能是修复被损伤 DNA,因此当 DNA 发生损伤时,PARP 的活化是细胞的一个防御机制^[1]。PARP 是 caspases 家族的一个下游反应物,在细胞凋亡发生的过程中,PARP 被 caspase-3 裂解成为 2 个片段,89 kD 和 24 kD,前者在产生后随之游出细胞核,检测 89 kD 可以作为细胞发生凋亡的一个指标,后者包含有 DNA 结合区域,产生后仍留在细胞核内与保持着

DNA 结合活性,可以与 PARP 竞争 DNA 结合从而加速细胞凋亡的发生^[8]。但同时 PARP 的过度激活将会消耗大量的 ATP,导致细胞内能量耗尽,最终细胞死亡,应用 PARP 的抑制剂可以起到保护作用。本研究表明 Ang II 可以时间依赖性地引起内皮细胞凋亡,在整个过程中 PARP 活性在 6 h 开始上调,12 h 达到高峰,24 h 接近正常。PARP 开始阶段的活性上调可能是因为:当大量 Ang II 与其受体 AT₁ 结合后,激活 NAD(P)H 氧化酶产生大量 ROS,然后 NO 再与活性氧结合生成具有细胞毒性的 ONOO⁻,这些细胞毒性物质直接造成了 DNA 的损伤,从而激活了 PARP。在后期过程中,可能是因为 Ang II 激活了 caspases 家族造成了 PARP 大量的裂解,从而活性降低。Soldani 等^[9]研究表明 PARP 的前期激活对后期的活性下降有着自身调节作用,如果在前期阻制了 PARP 的激活,就可以避免后期活性降低的发生和细胞的凋亡。因此应用 PARP 抑制剂可以起到一定的细胞保护作用。

[参 考 文 献]

- [1] Koh DW, Dawson TM, Dawson VL, et al. Mediation of cell death by poly(ADP-ribose) polymerase-1 [J]. Pharmacol Res, 2005, 52(1): 5–14.
- [2] Madan B, Singh I, Kumar A, et al. Xanthones as inhibitors of microsomal lipid peroxidation and TNF- α induced ICAM-1 expression on human umbilical vein endothelial cells (HUVECs) [J]. Bioorg Med Chem, 2002, 10(11): 3431–3436.
- [3] Szabo C, Zingarelli B, Salzini AL. Role of poly-ADP-ribosyltransferase activation in the vascular contractile and energetic failure elicited by exogenous and endogenous nitric oxide and peroxynitrite [J]. Circ Res, 1996, 78(6): 1051–1063.
- [4] 李宝玉, 高颖, 张建英, 等. Ang II 对大鼠胚心成纤维细胞的影响 [J]. 中国病理生理杂志, 2005, 21(1): 89–91.
- [5] 赵亚莉, 张智国, 刘洁, 等. PKC ζ 与 Raf 在 Ang II 引起的大鼠血管平滑肌细胞 ERK1/2 活化中的作用 [J]. 中国病理生理杂志, 2007, 23(1): 35–39.
- [6] Suzuki Y, Ruiz-Ortega M, Lorenzo O, et al. Inflammation and angiotensin II [J]. Int J Biochem Cell, 2003, 35(6): 881–900.
- [7] Schmidt-Ott KM, Kagiya S, Ian Phillips M. The multiple actions of angiotensin II in atherosclerosis [J]. Peptides, 2000, 93(1): 65–77.
- [8] Quesada P, Malanga M, Meglio SD, et al. Recombinant IFN- α 2b treatment activates poly(ADPR) polymerase-1 (PARP-1) in KB cancer cells [J]. Eur J Cancer, 2003, 39(14): 2103–2109.
- [9] Soldani C, Lazze MC, Bottone MG, et al. Poly(ADP-ribose) polymerase cleavage during apoptosis: when and Where [J]. Exp Cell Res, 2001, 269(2): 193–201.